

**ფერდინანდ თავაძის მეტალურგიისა და
მასალათმცოდნეობის ინსტიტუტი**

2014-2015- წლის სამეცნიერო-კვლევითი საქმიანობის

შუალედური

ა ნ გ ა რ ი შ ი

**თბილისი
2015**

2014-2015 წლების სამეცნიერო-კვლევითი საქმიოანობის

შუალედური

პ ნ ბ ა რ ი შ ი

თბილისი
2015 წელი
შინაარსი

2014-2015- წლების დასრულებული და მიმდინარე გეგმიური სამეცნიერო -კვლევითი სამუშაოების ანგარიში პრიორიტეტების მიხედვით
პრიორიტეტი 1.

საბაზო დაფინანსებით შესასრულებელი სამხედრო დანიშნულების დახურული სამეცნიერო-კვლევითი სამუშაოები

პრიორიტეტი 2.

ნაციონალური უსაფრთხოება, ახალი მასალების დამუშავება, ბუნებრივი რესურსების და წარმოების ნარჩენების რაციონალური გამოყენება 18

საბაზო დაფინანსებით შესასრულებელი მეტალურგიული და მასალათმცოდნეობის სამოქალაქო პროფილის

სამეცნიერო-კვლევითი სამუშაოები

1. სამთო-მეტალურგიული და მომიჯნავე საწარმოთა არაკონდიციური ნარჩენებისაგან მაღანთერმულ ღუმელებში ფეროსილიკოალუმინის წარმოების მიზანშეწონილობის ტექნიკური და ეკონომიკური დასაბუთება, 18

2. „უსხმულო გლინვით“ საჯავშნე ალუმინის 8-11 მმ-იანი ნამზადების წარმოების პროცესის ოპტიმალური ტექნოლოგიური პარამეტრების დადგენა, 20

3. სპეციალური დანიშნულების მაღალ აზოტიანი კოროზიამედეგი ფოლადების დამუშავება, 22

4. Ti-B-C-N სისტემის კერამიკული მასალების ფუძეზე გრადიენტული საჯავშნე ელემენტების მიღების ტექნოლოგიების შემუშავება, 26

5. TiB₂, ZrB₂ -ის და TiB₂ /TiC, TiB₂ /Al₂O₃ , ZrB₂/ZrC-ს კომპოზიციური კერამიკული მასალების მიღება 27
- 6.ფხვნილოვანი ბორშემცველი კომპოზიციური მასალების მიღება ნეიტრონ-შთანთქმელი და ცვეთამედეგი დანაფარებისათვის, 30 დამთავრებული პროექტი
- 7.გვიან შუასაუკუნეების ქართული იარაღ-საჭურველი 34
საინიციატივო თემები: 36
1. გალიუმის შენადნობებით აქტივირებული ალუმინის მიღება წყალბადის მიკროგენერატორებში გამოყენების მიზნით
 - 2.სილიციუმის მონოკრისტალების მიღება და გამოკვლევა.37
- 3.ინდივიდუალური დაცვის „თხევადი ჯავშანი“ 38
4. ნახშირბადისა და ბორის ნიტრიდის იზოსტრუქტურული ნანომასალების (ბოჭკოების, მილაკების, ფირების, ლითონშემცველი კლასტერების) მიღების მეთოდების დამუშავება 41

**2014-2015- წლების დასრულებული და მიმდინარე გეგმიური სამეცნიერო -კვლევითი
სამუშაოების ანგარიში პრიორიტეტების მიხედვით**

2014-2015-2016 წლებში სსიპ-სსსტც „დელტა“-ს მიერ 2015 წლის 20 აპრილს დამტკიცებული გეგმის თანახმად, ინსტიტუტი ასრულებს შემდეგ სამეცნიერო-კვლევით სამუშაოებს:

პრიორიტეტი 1. სამხედრო დანიშნულების 6 დახურული სამეცნიერო-კვლევით სამუშაოს საბაზო დაფინანსებით;

პრიორიტეტი 2.

მეტალურგიული და მასალათმცოდნეობის, სამოქალაქო პროფილის 7 სამეცნიერო-კვლევით სამუშაოს. ნაციონალური უსაფრთხოება, ახალი მასალების დამუშავება, ბუნებრივი რესურსების და წარმოების ნარჩენების რაციონალური გამოყენების მიმართულებით. საბაზო დაფინანსებით

სამ საინიციატივო თემას რომელიც ბიუჯეტიდან არ ფინანსდება.

ქვემოთ მოყვანილ ანგარიშში წარმოდგენილია პრიორიტეტი 2-ის 7- პროექტი. მათ შორის ერთი პროექტი დასრულებულია და წარმოგიდგენილია მოკლე ანგარიშის სახით. (სრული ანგარიში დამთავრებული პროექტისა გადმოგეცემათ მოთხოვნის შემთხვევაში).

**პრიორიტეტი 2. ნაციონალური უსაფრთხოება, ახალი მასალების
დამუშავება, ბუნებრივი რესურსების და წარმოების ნარჩენების
რაციონალური გამოყენება**

**თავი I. საბაზო დაფინანსებით შესასრულებელი მეტალურგიული და
მასალათმცოდნეობის სამოქალაქო პროფილის
სამეცნიერო-კვლევითი სამუშაოები**

**1.სამთო-მეტალურგიული და მომიჯნავე საწარმოთა არაკონდიციური
ნარჩენებისაგან მადანთერმულ ღუმელებში ფეროსილიკოალუმინის წარმოების
მიზანშეწონილობის ტექნიკური და ეკონომიკური დასაბუთება,2015-წწ**

პროექტის ხელმძღვანელი: ტ.მ.დ.ჯ.მოსია

ლაბორატორიაში 2015 წელს დაიწყო და მომავალ წელსაც გაგრძელდება სამუშაოები გეგმიური სამეცნიერო-კვლევითი სამუშაოს “სამთო-მეტალურგიული და მომიჯნავე საწარმოთა არაკონდიციური ნარჩენებისაგან მადანთერმულ ღუმელებში ფეროსილიკოალუმინის წარმოების მიზანშეწონილობის ტექნიკური და ეკონომიკური დასაბუთება” სამუშაოს მიზანია სამთო-მეტალურგიულ და მომიჯნავე საწარმოთა წვრილფრაქციული ნარჩენებიდან მიღებული კომპაქტირებული კაზმებისაგან და ფრაქციონირებული მაღალთიხამიწაშემცველი ლიპტობიოლიტური ნახშირებისა და ქანებისაგან ფეროსილიკოალუმინის მიღების ტექნოლოგიის დამუშავება, საცდელი უბნის მოწყობა, სათანადო მოწყობილობებით მისი კომპლექტაციის ტექნიკური გადაწყვეტის შერჩევა. მსხვილლაბორატორიული (250-500 კვა სიმძლავრის მუდმივი დენის მადანთერმული ღუმელის ბაზაზე) საცდელი დნობების ჩატარება და მისი შედეგების ანალიზის საფუძველზე ფეროსილიკოალუმინის წარმოების მიზანშეწონილობის ტექნიკური და ეკონომიკური დასაბუთება.

საანგარიშო პერიოდში კვლევის კვარტალური გეგმების შესაბამისად ჩატარებულია:

- ჩვენი ქვეყნის სამთო-მეტალურგიული და მომიჯნავე საწარმოთა წარმოების მაღალთიხა-მიწიანი ნარჩენების მარაგების თაობაზე ინფორმაციების დაზუსტება. მათი შესაძლო გადამუშავების ტექნოლოგიებზე ინფორმაციის მოგროვება და სისტემატიზაცია;
- სილიციუმალუმინიანი შენადნობების მიღების არსებული ხერხების მიმოხილვა ნახშირის გამდიდრების ნარჩენებისა და თბოელექტრო-სადგურების ნაცრების გამოყენებით და პრიორიტეტული მიმართულებების განსაზღვრა. სილიციუმალუმინიანი შენადნობების მიღების არსებული ხერხების ანალიზი და დადგენილია ნახშირის გამდიდრების ნარჩენებისა და თბოელექტროსადგურების ნაცრების გამოყენებით მათი მიღების პრიორიტეტული მიმართულებები;

- ადნიშნული ტექნოლოგიის დასამუშავებლად დადგენილ იქნა ტყიბულის სამთო-გამამდიდრებელ კომპინატში საცდელი ნიმუშების წარმომადგენლობითი ნიმუშების აღების სავარაუდო წერტილები, მათი სახეები;
- ადებულია საანალიზო სინჯები და ჩატარებლია მათი ტექნიკური ანალიზი, რისთვისაც საერთაშორისო სტანდარტის შესაბამისად ავაწყვეთ დანადგარი და ჩავატარეთ ანალიზებიც. დაზუსტებულია ცდებისათვის მათი მომზადების მეთოდები, რომელიც ითვალისწინებს მისაღები ლითონის შემადგენლობაში ალუმინის შემცველობის ცვალებადობას ფართო კონცენტრაციულ ინტერვალში, ნარჩენებში მყარი ნახშირბადის რაოდენობასა და მთლიანი მასის გრანულომეტრიულ შემადგენლობას. თბო-ელექტროსადგურების დაგროვილი წიდანაცრული ნარჩენების წარმომადგენლობითი სინჯების აღება მოხდა რუსთავის წიდა საერელიდან.
- დერივატოგრაფიული მეთოდის გამოყენებით შესწავლილია გამოყენებული კომპონენტებისა და კაზმების თერმული დესტრუქციის პროცესები, მათი მიმდინარეობის ტემპერატურული ინტერვალები და დინამიკა.
- შესწავლილია საკაზმე მასალებისა და კაზმების თბოფიზიკური თვისებები (თბომოხმარება, სითბოტევადობა და თბოგამტარობის კოეფიციენტი).
- შვედური უნივერსალური კომპიუტერული პროგრამული კომპლექსის “თპერმოცალც” გამოყენებით ჩატარებულია ფეროსილიკოალუმინის გამოდნობის დროს მიმდინარე რთული ქიმიური გარდაქმნების წინასწარი პროგნოზირება და გაკეთებულია აქცენტები შენადნობისა და კაზმების სავარაუდო შემადგენილობებზე.
- დადგენილია $\text{CaO}-\text{MgO}-\text{Al}_2\text{O}_3-\text{SiO}_2$ სისტემაში ოქსიდური ნადნობების სიბლანტის, ზედაპირული დაჭიმულობისა და ელექტრული გამტარებლობის ტემპერატურასა და შედგენილობაზე დამოკიდებულებები

ჩატარებული კვლევები გვიჩვენებს, რომ სამთო-მეტალურგიული მრეწველობის ნარჩენები წარმოადგენენ ტექნოგენურ საბადოებს, რომლებიც პერსპექტიულია გადამუშავებისათვის. ეს საშუალებას იძლევა გავზარდოთ მინერალურ-ნედლეულებრივი კომპლექსის მარაგები, შევამციროთ დანახარჯები ძირითადი სასარგებლო ნედლეულის გამდიდრებაზე. მინერალური ნედლეულისა და ტექნოგენური პროდუქტების კომპლექსური გამოყენების საეციფიკას გააჩნია გარკვეული თავისებურებები. ის განისაზღვრება დაბალი ხარისხის ნედლეულიდან საპასუხისმგებლო და დასამზადებლად მნელი პროდუქციის მსხვილ მასშტაბური წარმოებით და მოითხოვს როგორც ფუნდამენტური, ასევე გამოყენებითი კვლევების ჩატარებას. მკაფიოდ ჩანს მათი ერთდროული და ურთიერთმიბმული გადაწყვეტის აუცილებლობა.

კვარტალური გეგმის შესაბამისად ეგმ-ის გამოყენებით დამუშავებულია ტყიბულის ნახშირების მოპოვებისა და გამდიდრების არაკონდიციური ნარჩენებისაგან ფეროსილიკოალუმინის ელექტროტერმული წარმოების პროცესის მოდელირების ოპტიმალური ალგორითმი და შექმნილია ტექნოლოგიური პროცესების მართვის კომპიუტერული პროგრამა. იგი საშუალებას იძლევა საკაზმე მასალების შემადგენლობისა და ხარჯვის პარამეტრების ცვლილებისას

ოპერატიულად დავადგინოთ შენადნობის სავარაუდო შემადგენლობა და შევიტანოთ სათანადო ცვლილებები დნობის პროცესში.

ელექტროდნობის მეთოდით ნახშირის გამდიდრების გვერდითი პროდუქტებიდან და თეს-ის ნაცრებიდან ფეროსილიკოალუმინის მიღების პროცესისათვის დადგენილია შენადნობის შემადგენლობის ცვლილების ზღვრები კაზმის ძირითადი კომპონენტების შემცველობის ფართო დიაპაზონში და ფეროსილიკოალუმინის მიღების ოპტიმალური სქემა.

2. „უსხმულო გლინვით“ საჯავშნე ალუმინის 8-11 მმ-იანი ნამზადების წარმოების პროცესის ოპტიმალური ტექნოლოგიური პარამეტრების დადგენა, 2015წ.

პროექტის ხელმძღვანელები: გ.ქეგხიშვილი ტ.მ.კ. აკად.დოქ. უფ.მეც თან ჯ.შარაშენიძე ტ.მ.დ. მთავ.მეც.თან

დამუშავებულია ამ საკითხთან დაკავშირებით არსებული ლიტერატურა. ლრმა ანალიზის საფუძველზე დადგენილია სხვადასხვა თაობის საჯავშნე ალუმინის თვისებები და აქედან გამომდინარე თითოეული მათგანის გამოყენების სფერო. დღეისთვის ცნობილია სამი თაობის საჯავშნე ალუმინის შენადნობები:

I- თაობის საჯავშნე ფურცლები წარმოებული იყო Mg-სა და MnSi-იუმის ბაზაზე, II-თაობაში კი ძირითად მალეგურილებელ ელემენტს უპავი Zn, Mg, Mn წარმოადგენდა, ხოლო III თაობაში წამყვანს სპილენი წარმოადგენს იშვიათი გამონაკლისის გარდა, როცა დამატებით 0,5% ვერცხლი იხმარება.თითქმის ყველა თაობის შენადნობებში მალეგირებელი ელემენტების რაოდენობა შენადნობში 5-7%-ის ფარგლებში მერყეობს. სისალის მიხედვით ეს შენადნობები ორ ჯგუფად იყოფიან: პირველი დაბალი და საშუალო სისასლის შენადნობები (Hb-80-120) და მეორე მაღალი სისალის Hb-130-180-დან ზევით. პირველი ჯგუფის საჯავშნე ალუმინის ფურცლები ტყვია საწინააღმდეგოა. მეორე ჯგუფი უფასტურია ნაღმების ნამსხვრევების საწინააღმდეგოდ.

გარდა ამისა სათაო ოფისიდან მოგვაწოდეს დღეს ნატოს შეიარაღებაში არსებული ალუმინის საჯავშნე ფილის ნიმუში, რომელიც კვლევების პროცესში გამოყენებული იქნა როგორც ეტალონი, თავისი მექანიკური და სტრუქტურული თვისებების მიხედვით. ხვადსხვა მეთოდებით დადგენილია ამ ფილის ქიმიური შემადგენლობა როგორც გაირკვა შენადნობში მალეგირებელი ელემენტების ჯამური რაოდენობა 2,3- 2,5 % არ აღემატება (Mg-0,6-0,75%; Mn 0.8-0.92%; Si 1,2-1,35%).

როგორც ვხედავთ ამ ფილის ქიმიური შემადგენლობა საკმაოდ განსხვავდება ნებისმიერი თაობის შენადნობთა ქიმიური შემადგენლობისგან ე.ი. ის საჭირო მექანიკური თვისებები რაც საჯავშნე მასალების წინაშე დგას თერმული დაამუშავებისა და გარკვეული სიდიდის მოჭიმვების საშუალებით არის მიღწეული, რაც ჩვენი კვლევების ძირითად მიმართულებას წარმოადგენს. ექსპერიმენტული კვლევების პროცეში თითოეული თაობის საჯავშნე ალუმინის შენადნობების ქიმიური შემადგენლობის მიხედვით, ისევე როგორც ჩვენს ხელთ არსებული საჯავშნე ფილის ქიმიური შემადგენლობის გათვალისწინებით ჩამოსხმული და დამზადებულია საცდელი ნიმუშები რომლებიც შესწავლის პროცეში იმყოფებიან. ნიმუშები მიღებულია ჩამოსხმით, მცირე ზომის ყალიბებში დეფორმაციის

გარეშე, რათა სხვადასხვა სიდიდის მოჭიმვების შემდეგ დადგინდეს მოჭიმვის ოპტიმალური მნიშვნელობები.

ამჟამად მიმდინარეობს ჩვენს ხელთ არსებული მონაცემების ანალიზი და თეორიული გათვლებით შეფასებულ ჩამოსხმის პარამეტრებსა და ექსპერიმენტალურად მიღებულ პარამეტრებს შორის განსხვავების დადგენა, ცდომილების კოეფიციენტის განსაზღვრა.

როგორც წესი ყოველი ჩამოსხმის დროს ხდება ყველა ძირითადი ტექნოლოგიური პარამეტრის (გამოწვივის სიჩქარე, გლინებზე წარმოქმნილი ძალები, (ტექსტურატურა ლითონის და გამაცივებელი წყლის) პარალელურ რეჟიმში ჩაწერა. მიუხედავად იმისა წარმატებით ჩაიარა ჩამოსხმამ თუ ავარიით დამთავრდა წარმოებს ამ ჩანაწერების ანალიზი, რაც საგრძნობლად გვეხმარება სხვადასხვა კვეთის ნამზადისთვის თეორიულად ოპტიმალური ჩამოსხმის პარამეტრების განსაზღვრაში.

მაგრამ აქამდე ჩანაწერების სიმცირის გამო ძირითადი აქცენტი გამოწვივის ძალებსა და სიჩქარის შორის ურთიერთდამოკიდებულებაზე იყო გაკეთებული, რაც პრაქტიკულად გამორიცხავდა ლითონის ქიმიური შემადგენლობის გავლენის შესწავლას ჩამოსხმის პროცესის სტაბილურობაზე. სწორედ ამის გამო ხშირი იყო თეორიულად განსაზღვრულ და რეალურად არსებულ ჩამოსხმის ტექნოლოგიურ პარამეტრებს შორის სხვაობა რაც რიგ შემთხვევაში ავარიის მიზეზი ხდებოდა.

დღეისთვის დაგროვდა “უსხმული გლინვის” მეთოდით, სხვადასხვა ქიმიური შემადგენლობის ლითონის ჩამოსხმის ჩანაწერების საკმაო რაოდენობა, რაც საშუალებას იძლევა თეორიული შეფასების, პროგნოზირებით გავითვალისწინოთ სხვა პარამეტრებთან ერთად (სიჩქარე და ძალები). ეს პროცესი საკმაოდ შრომატევადია, მაგრამ სწორი მეთოდიკის შემუშავების შემთხვევაში საგრძნობლად შეამცირებს საკმაოდ ღირებულ და შრომატევად ექსპერიმენტალური კვლევების ხვედრით წილს ჩამოსხმის ოპტიმალურ პარამეტრების თეორიულად განსაზღვრის პროცესი.

დადგენილია სხვადასხვა თაობის საჯავშნე ფილის ოპტიმალური ქიმიური შემადგენლობა და ფიზიკო მექანიკური მახასიათებლები; დამუშავდა საჩამოსხმო-საგლინავი დანადგარის რეკონსტრუქციის პროექტი, რაც აუცილებელია კომპოზიტური (ფენოვანი) საჯავშნე ფილების ჩამოსხმის და ნამზადების სისქის გასაზრდელად 30÷50 მმ-დე.

ჩამოსხმის პროცესის ტექნოლოგიური პარამეტრების (გამოწვივის სიჩქარე, გლინებზე წარმოქმნილი ძალები, ლითონის ტექსტურატურა, ქიმ. შედგენილობა) ჩანაწერების დეტალური ანალიზით შესაძლებელი გახდა ნებისმიერი სისქისა და ქიმ. შედგენილობის ალუმინის შენადნობებისათვის თეორიულად ჩამოსხმის ოპტიმალური ტექნოლოგიური პარამეტრების განსაზღვრა, რაც საგრძნობლად შეამცირებს საკმაოდ ძვირადღირებულ და შრომატევად ექსპერიმენტალურ კვლევების ხვედრით წილს სხვადასხვა დანიშნულების ნამზადების ჩამოსხმის ტექნოლოგიის დადგენის საქმეში. დამუშავდა საჩამოსხმო-საგლინავი დანადგარის რეკონსტრუქციის პროექტი, რაც საშუალებას მოგვცემს საგრძნობლად გავზარდოთ ჩამოსხმული ნამზადების სისქე (30÷50 მმ-დე). რის გარეშეც შეუძლებელია კომპოზიტური (ფენოვანი) საჯავშნე ფილების ჩამოსხმა.

3. სპეციალური დანიშნულების მაღალ აზოტიანი კოროზიამედეგი ფოლადების დამუშავება, 2015წ.

პროექტის ხელმძღვანელი: ნ.ლუარსაბიშვილი ტ.მ.კ. აკად.დოქტ. მთავ.მეც.თან

სპეციალური დანიშნულების კოროზიამედეგი ფოლადებიდან დამზადებული ნაწარმი, რომელიც გამოიყენება, როგორც სამხედრო ასევე, სამოქალაქო დანიშნულებისათვის მეტად ძვირფასია.

ცნობილია სტანდარტული ქრომნიკელის ან ნიკელის ფუძეზე სხვადასხვა ელემენტების დამატებით მიღებული რთულადლეგირებული კოროზიამედეგი ფოლადები და შენადნობები. მაგრამ უკანასკნელ წლებში ნიკელის გაძვირებამ და მისმა ალერგენობამ ადამიანის ორგანიზმზე, ბიგი მისცა უნიკელო შენადნობების მიღებისათვის მიძღვნილ კვლევებს. ამ მხრივ მნიშვნელოვანია ახალი მაღალაზოტიანი უნიკელო ფოლადები, რომლებმაც გამოამჟღვნეს უნიკალურ თვისებები. კერძოდ სიმტკიცის მაღალ მაჩვენებლებთან ერთად კარგი პლასტიკურობა, გაზრდილი კოროზიამედეგობა და რაც ძალზე მნიშვნელოვანია, ნიკელის აზოტით შეცვლით გამოწვეული ეკონომიური ეფექტურობა.

დალაზოტიანი ფოლადები წარმოადგენენ ძირითადად ქრომით, ნიკელით, მანგანუმით, მოლიბდენით, ვანადიუმით ლეგირებულ ძვირფას შენადნობებს, რომლებიც საერთო დანიშნულების ფოლადებისაგან განსხვავებით გამოიყენებიან ვიწრო მიმართულებით და გააჩნიათ უნიკალური ფიზიკო-ქიმიური და მექანიკური თვისებები.

მოვიყვანთ 2 მაგალითს

ფოლადი	C	Cr	Mo	Mn	Ni	S	Si	Cu	
Cronidur 30	0,25-0,35	14-16	0,85-1,00	1,00	0,5	-	-	-	0,3-0,5
"Bio Dur 108"	0,05	21	0,8	23	0,03	0,005	0,40	0,10	0,97

Cronidur 30 არის ესსენის ფირმის მიერ წარმოებული მარტენსიტული კლასის ფოლადი. იგი გამოირჩევა მაღალი კოროზიამედეგობით, კარგი დამუშევადობადობით, თერმული დამუშავებისას ზომების მაღალი სტაბილურობით, ხეხვით და პოლირებით ოპტიმალური ხარისხიანი ზედაპირის მიღების შესაძლებლობით, მაღალი სიმტკიცით და სისალით (54-61RC) მაღალ დინამიკურ მახასიათებლებთან ერთად, კარგი ცვეთამედეგობით, 500 გრადუსამდე მოშვებისადმი მაღალი მდგრადობით, განსაკუთრებული სისუფთავით, რომელიც მიღწეულია წნევის ქვეშ ელექტროწიდური გადადნობით, ოპტიმიზირებული და ერთგვაროვანი მიკროსტრუქტურით, რომელიც მიიღწევა სპეციალური ინდივიდუალური ჭედვით მიკროდისკერსული, უპირატესად ქრომის 6-10 მიკრონი ზომის კარბონიტრიდების ჩამოყალიბებით.

გამოყენების სფეროებია: საავიაციო მრეწველობა, მანქანათმშენებლობა, ქიმიური მრეწველობა, ფარმაცევტული და სამედიცინო დანიშნულების იარაღების წარმოება. სამედიცინო დანიშნულებით, განსაკუთრებით ინპლანტაციებისათვის დაწინაურებულია კარპენტერის ტექნოლოგიური კორპორაციის მიერ შემუშავებული უნიკელო მაღალაზოტიანი ქრომ-მანგანუმიანი აუსტენიტური კლასის ფოლადი "Bio Dur 108".

ამრიგად, მაღალაზოტიანი ფოლადები მიეკუთვნებიან განსაკუთრებით მაღალ ხარისხიან შენადნობებს, რომელთა მისაღებად აუცილებელია თანამედროვე გაკუმურ-ინდუქციური, პლაზმური დნობის და აზოტის წნევის ქვეშ ელექტროწიდური გადადნობის მოწინავე ტექნოლოგიების გამოყენება. ამ

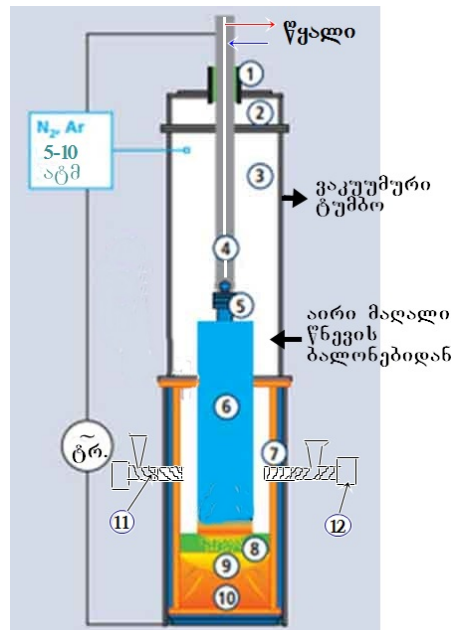
ტექნოლოგიების რეალიზება მხოლოდ თანამედროვე აპარატურით და დანადგარებით არის შესაძლებელი, რაც დიდ კაპიტალ დაბანდებებს მოითხოვს. ფ.თავაძის მეტალურგიისა და მასალათმცოდნეობის ინსტიტუტში არსებობს ინტელექტუალური პოტენციალი და ტექნიკური საშუალებები, რათა ეს მეტად როგორი პრობლემა იქნას გადაჭრილი.

დამუშავდეს სპეციალური კოროზიამედეგი ფოლადების მიღების ტექნოლოგიები ქვეყნის თავდაცვის და სამოქალაქო სექტორისათვის.

პროექტის მიზანია – შეიქმნას მაღალაზოგიანი სპეციალური დანიშნულების კოროზიამედეგი ფოლადები.

მიზნის მისაღწევად გამოყენებული იქნა ინსტიტუტში არსებული სიმძლავრეები, დანადგარები, მოწყობილობები, ხოლო კვლევის დროს წარმოქმნილი პრობლემების დასაძლევად მოხდა მათი მოდერნიზაცია ან ახალი ექცერიმენტული აპარატურის შექმნა.

ელექტრო-წილური დნობის დანადგარი



შეიცვალა მაღალი წნევის კამერის კონსტრუქციის დეტალები, რაც აზოტის წნევის 10-დან 20 ატმოსფერომდე გაზრდას უზრუნველყოფს.



დამუშავდა პროექტი პლაზმური დნობის დანადგარის სადნობი ტიგელისათვის: 10-15 კგ მასის სადნობი ტიგელი თხევადი ლითონის ელექტრო-მაგნიტური მომრევით უზრუნველყოფს პლაზმა-წილური დნობის სტაბილურ პროცესს, ლითონის ქიმიურ ერთგვაროვნებას და მაღალ ხარისხს. მოძიებულია მასალები აღნიშნული ნადნობის დასამზადებლად.

სხვადასხვა ქვეყნებში არსებული მიღწევების ანალიზი აჩვენებს, რომ აზოტის მაღალი შემცველობის მისაღწევად ელექტროწილური გადაღნობის პრცესში აზოტის მაღალი წნევა არ არის საკმარისი ნადნობში მისი მაღალი კონცენტრაციის მისაღებად, ვინაიდან აიროვანი მდგომარეობიდან თხევადი წილის გავლით (რომელიც ბარიერის როლს თამაშობს) აზოტის თხევად ლითონში გადასვლა გაძნელებულია. ამიტომ იყენებენ მაღალაზოტიან ფხვნილოვან ნაერთებს, როგორიც არის სილიციუმის ნიტრიდი ან ქრომის ნიტრიდი. ვინაიდან, ჩვენ შემთხვევაში სილიციუმის არსებობა, როგორც ფერიტარმომქმნელი ელემენტისა, არ არის

სასურველი, ძირითადი უურადღება ეთმობა ელექტროწიდური გადადნობის პროცესში ქრომის ნიტრიდის ფხვნილის გამოყენებით.

უნდა აღინიშნოს, რომ ქრომის ნიტრიდის ფხვნილების მწარმოებლები (ძირითადად ჩინური კომპანიები) გვთავაზობენ წვრილდისპერსულ ფხვნილებს. გამდნარ წიდაზე მირთვის დროს კი რეკომენდირებულია 0,5-1 მმ ზომის ფხვნილები. ინსტიტუტის თმს ლაბორატორიას აქვს შესაძლებლობა მიღებულ იქნას ექსპერიმენტისათვის აუცილებელი მცირე რაოდენობის ქრომის ნიტრიდი.

ინსტიტუტის დისლოკაციის შეცვლის გამო დემონტაჟი გაუკეთდა ინდუქციურ და პლაზმურ სადნობ დუმელს და ელექტროწიდური დნობის დანადგარს. ამიტომ საკვლევი შენადნობების მიღება მოხდება საამქროს მშენებლობის დამთავრების და დანადგარების მონტაჟის შემდეგ, რომელიც 2016 წლის პირველ კვარტალში დასრულდება.

ამჟამად მიმდინარეობს და 2016 წლის პირველ და მეორე კვარტალში გაგრძელდება შემდეგი სამუშაოები:

1. რენტგენულ დიფრაქტომეტრებს «ДРОН-2 , ДРОН-4» მოწვეული უკრაინელი სპეციალისტის მიერ ჩაუტარდა პროფილაქტიკური სარემონტო და მოდერნიზაციის სამუშაოები. ორივე დანადგრი მუშაობს გამართულად. გაყვანილ იქნა ინტერნეტი, რაც საშუალებას გვაძლევს გვქონდეს წვდომა მსოფლიოს მონაცემთა ბაზებთან.
2. მიმდინარეობს ექსპერიმენტული ხელსაწყოს დაკომპლექტება გოგირდწყალბადის შემცველ არეებში ფოლადების კოროზიული მახასიათებლების ასაღებად.
3. მიმდინარეობს სამუშაოები დიფრაქტომეტრ დროინდებული კამერის მონტაჟისა და საექსპლოატაციო რეჟიმების დასადგენად.
4. ჩატარებულია არსებული საკვლევი ფოლადების ნიმუშების თერმული დამუშავება (წრთობა + მოშვება სხვადსხვა ტემპერატურებზე) და მეტალოგრაფიული ანალიზი.
5. ჩატარდა თერმული დამუშავების დროს მყარი ხსნარიდან ნიტრიდების და კარბონიტრიდების გამოყოფის პროცესის რენტგენოგრაფიული კვლევა.
6. გამოკვლეული იქნება გოგირდწყალბადის შემცველ არეებში (ზღვის წყალი და ნავთობი) ფოლადების კოროზიული მახასიათებლებზე თერმული დამუშავების გავლენა.
7. მოხდება ელექტროწიდური გადადნობის დანადგარის მოდერნიზაცია, მონტაჟი და გაშვება.
8. პლაზმუდი დნობის დანადგარის მონტაჟი და დნობის ჩატარება.
9. მიღებულ იქნება ფოლადი სამედიცინო დანიშნულებისათვის.

1. მშენებარე ექსპერიმენტული კორპუსის პირველ სართულზე განსაღაებელი პლაზმური დნობის და ელექტროწიდური გადადნობის დანადგარების ადგილმდებარეობის და მათი ფუნქციონირებისათვის აუცილებელი კომუნიკაციების (ელექტრომომარაგება, ტექნიკური წყალი, ვენტილაცია, განათება) გაყვანასთან დაკავშირებით ჩატარდა მოსამზადებელი სამუშაოები საპროექტო ორგანიზაციასა და მშენებლებთან ერთად.

2. მოძიებულ იქნა ციფრული თვითხამწერი თერმომაგნიტომეტრული კვლევის შედეგების კომპიუტერული დამუშავების მიზნით;
3. მოძიებულია ულტრაბგერითი გენერატორი და მიმდინარეობს მოდელური კვლევები თხევად ლითონებზე გაზის ბუშტების წარმოქმნის მექანიზმის და მაღავირებელი ელემენტების შეუვანის მექანიზმის გამოსავლენად;
4. მიმდინარეობს თერმული დამუშავების დროს ნიტრიდწარმოქმნის პროცესის კვლევა;
5. მიმდინარეობს ელექტროწიდური გადადნობის დანადგარისათვის მაღალი წნევის კამერის მოდერნიზაცია.

ჩატარდა მოსამზადებელი სამუშაოები საპროექტო ორგანიზაციასა და მშენებლებთან ერთად. მოხდა კვლევის შედეგების კომპიუტერული დამუშავება; მიმდინარეობს მოდელური კვლევები თხევად ლითონებზე გაზის ბუშტების წარმოქმნის მექანიზმის და მაღავირებელი ელემენტების შეუვანის მექანიზმის გამოსავლენად; მიმდინარეობს თერმული დამუშავების დროს ნიტრიდწარმოქმნის პროცესის კვლევა; მიმდინარეობს ელექტროწიდური გადადნობის დანადგარისათვის მაღალი წნევის კამერის მოდერნიზაცია.

4. Ti-B-C-N სისტემის კერამიკული მასალების ფუძეზე გრადიენტული საჯავშნე ელემენტების მიღების ტექნოლოგიების შემუშავება, 2015წ

სამეცნიერო კონსულტატი: გ.თავაძე ტ.მ.დ. პროფესორი, ეროვ. აკდ. აკადემიკოსი სამუშაოს ხელმძღვანელები: გ.ონიაშვილი ტ.მ.დ. პრაფესორი ლაბორატორი ხელმძღ.

ზ.ასლამაზაშვილი, ტ.მ.კ. აკდ.დოქ. მთავ. მეც.თან

ომს მეთოდით Ti-B-N და Ti-B-N-C სისტემების ერთდროულად ორი კერამიკის ფუძეზე გრადიენტული მასალების მიღების შესაძლებლობის შესასწავლად ჩვენს მიერ შემოთავაზებული იყო შემდეგი სისტემები:

- 1- Ti-B-C-N-Cu;
- 2.Ti, Ti-B-C-N-Cu ;
3. Al, Ti-B-C-N-Cu ;
4. Ti-Al, Ti-B-C-N;
- 5.X18H15, Ti-B-C-N-Cu;
6. Ti-Cr-C- X18H15;
7. X18H15, Ti-B-C-N-Cu ;
8. TH50, Ti-B-C-N-Cu;
9. Ti-B-N-Cu,TH50;
10. Ti-B-C-N-Cu,TH50ITi-B-N-Cu.

შერჩეული სისტემებისათვის მიღებულია ნიმუშები. კაზმებიდან მომზადებული დაწნებილი ბრიკეტები თავსდებოდა წნებფორმაში. სინთეზის პროცესის ინიცირებისათვის გამოიყენებოდა ვოლფრამის სპირალი წინასწარ გამომშრალ 200-800 მეტ დისპერსიულობის ქვიშაში, რომელიც თამაშობს თბოიზოლატორის როლს და რომლის შემდეგ ხდება ნიმუშზე დამწნებავი ძალის გადაცემა.

ნიმუშების მიღება ხდება სინთეზისა და კომპაქტირებისათვის აუცილებელი წინასწარ ექსპერიმენტულად განსაზღვრული ყველა პარამეტრის (წინასწარ დაწნების დრო, ინიცირების დაწყებისა და ხანგრძლივობის დრო, წინასწარ დაწნებისას წნევის ქვეშ დაყოვნების დრო, უკვე სინთეზირებული ნიმუშის წნევის ქვეშ დაყოვნების დრო, აგრეთვე წინასწარ და საბოლოო დაწნების წნევების მნიშვნელობების ოპტიმალური სიდიდეები) გათვალისწინებით.

შესწავლით მეთოდით Ti-B-N და Ti-B-C-N სისტემების კერამიკის ფუძეზე გრადიენტული მასალების მიღების შესაძლებლობა და დადგენილია, რომ ჩვენს მიერ შერჩეულ სისტემებში შესაძლებელია წინასწარდასახული თვისებების მქონე გრადიენტული მასალების მიღება. დადგენილია სინთეზისა და კომპაქტირების ოპტიმალური პარამეტრები.

მიმდინარეობს ორი კერამიკის ფუძეზე Ti-B-N Ti-B-N-C გრადიენტული მასალების საცდელი ნიმუშების დამზადება; განსაზღვრულია ორი კერამიკის ფუძეზე ოპტიმალურ პირობებში მიღებული გრადიენტული ნიმუშების ფიზიკურ-მექანიკური თვისებები; საწყისი კომპონენტების საბოლოო პროდუქტად გარდაქმნის თანმიმდევრობის ცილინდრული გვაძლევს დავადგინოთ არა მარტო კაზმების ოპტიმალური შემადგენლობა და მასალების მიღების ტექნოლოგიური პარამეტრები, არამედ გავაკეთოთ პროგნოზირება ამ მასალების საუქსპლუატაციო თვისებების შესახებ. დადგენილია რომ ხარისხიანი

გრადიენტული მასალის მისაღებად აუცილებელია ორიდან ერთი პირობა მაინც შესრულდეს ესენია: ფენების სინთეზის სიჩქარეები უნდა იყოს დაახლოებით თანაბარი, ან ფენები უნდა შეიცავს თითო მაინც მსგავს ფაზას.

5. TiB_2 , ZrB_2 -ის და TiB_2/TiC , TiB_2/Al_2O_3 , ZrB_2/ZrC -ს კომპოზიციური კერამიკული მასალების მიღება, 2015წ

პროექტის ხელმძღვანელი: ჯ.ბალდავაძე ტ.მ.დ. მთავმეც.თან

განვიხილეთ ლიტერატურაში არსებული ჩვენს მიერ შესასწავლი მასალების მიღების შესახებ შესრულებული სამუშაობი. მოძიებული იქნა მათ შესახებ უახლესი ლიტერატურული მონაცემები და ჩატარდა მათი ანალიზი. მიმოხილვამ გვიჩვენა, რომ პრაქტიკაში გამოყენების მაღალი მოთხოვნის გამო TiC , TiB_2 , ZrC , ZrB_2 , TiB_2/TiC , ZrB_2/ZrC , Al_2O_3/TiB_2 კერამიკული ნაერთებისა და სხვა კომპოზიციური მასალების მიღებას დიდი ყურადღება ექცევა. მრავალფეროვანი თვისებების მქონე ამ მასალების მისაღებად დამუშავებულია სხვადასხვა მეთოდები. ამიტომ მიზანშეწონილია მიღების ისეთი ხერხის შერჩევა, რომელიც ეკონომიკური თვალსაზრისით ნაკლებ ხარჯებს მოითხოვს. ჩვენს შემთხვევაში, ზემოთ აღნიშნული მასალების მისაღებად შერჩეული იქნა კარბოთერმული და ლითონერმული მეთოდები, რომელთა უკეთაზე ხელსაყრელი რეჟიმის დადგენისათვის საჭიროა ზემოთაღნიშნული მასალების მიღების პროცესების სრული თერმოდინამიკური ანალიზი, რაც ნაკლები ექსპერიმენტის ჩატარების საშუალებას მოგვცემს. გარდა ამისა ერთი რეაქციით შესაძლებელი გახდება მრავალნაერთიანი სხვადასხვა შედგენილობის კერამიკული კომპოზიციური მასალების მიღება. ამ მიზნით ჩავატარეთ TiB_2 -ის და TiB_2/TiC , TiB_2/Al_2O_3 კომპოზიციური მასალების მიღების პროცესების სრული თერმოდინამიკური ანალიზი (სთა) კომპიუტერული პროგრამა ASTRA-4 პროგრამის გამოყენებით.

ვიანგარიშეთ ზოგიერთი ნაერთის უცნობი თერმოდინამიკური მახასიათებლები:

$TiC_{0.1} O_{0.9}$ ოქსიკარბიდებისათვის: $\Delta H_{298}^0 = -1257$ კალ/მოლი, $\Delta H_{\text{დნ}}=10733$ კალ/მოლი, $C_{\text{ფა}}=17.393$ კალ/მოლი. .

$TiC_{0.75} O_{0.25}$ ოქსიკარბიდებისათვის: $\Delta H_{298}^0=-68925$ კალ/მოლი, $\Delta H_{\text{დნ}}=37090$ კალ/მოლი, $C_{\text{ფა}}=66.02$ კალ/მოლი, $K.T_{\text{დნ}}=2804$ K.

$TiC_{0.4} O_{0.6}$ ოქსიკარბიდებისათვის: $\Delta H_{298}^0 = -95420$ კალ/მოლი, $\Delta H_{\text{დნ}}=14198$ კალ/მოლი, $C_{\text{ფა}}=16.989$ კალ/მოლი.K, $T_{\text{დნ}}=2453$ K.

$TiAl$ - სათვის: $\Delta H_{\text{დნ}}=6553$ კალ/მოლი, $H_{298}^0-H_0^0=1954.5$ კალ/მოლი,

AlB_2 - სათვის: $\Delta H_{298}^0 = -36090$ კალ/მოლი, $\Delta H_{\text{დნ}}=13849$ კალ/მოლი,

$C_{\text{ფა}}=29.01$ კალ/მოლი,

შესრულებულია TiO_2 და B_2O_3 -ის ალუმინთან ურთიერთქმედების პროცესის თერმოდინამიკური ანალიზი შემდეგი რექაციისათვის:



ამ სისტემის სრული თერმოდინამიკური ანალიზის შედეგები ლიტერატურაში არ მოიპოვება. ამიტომ ინტერეს იწვევს აღნიშნული სისტემის სისტემის შესრულება. თერმოდინამიკურმა ანალიზმა გვიჩვენა, რომ პროცესი მაღალტემპერატურული

ეგზოთერმული ეფექტით მიმდინარებს და აღდგენა 500 K-ის ქვემოთ მთავრდება. აუცილებლია აღინიშნოს, რომ ამ ტემპერატურაზე პროცესი პრაქტიკულად არ განხორციელდება და სისტემა მოითხოვს გადახურებას, რომლის შემდეგ რეაქცია თვითდინებით მიმდინარეობს. ჩატარებულია Ti-B-O-C სისტემის სრული თერმოდინამიკური ანალიზი. აღნიშნულ სისტემაში შესრულებულია 10 შედგენილობის თერმოდინამიკური ანალიზი. სამუშაოში წარმოდგენილია მხოლოდ ორი შედგენილობის თერმოდინამიკური ანალიზის შედეგები: 1. TiO_2 - 38.14 მას.%; B_2O_3 - 33.25 მას.%; C-28.61 მას.%; 2. TiO_2 - 49.07 მას.%; B_2O_3 - 21.40 მას.%; C-29.53 მას.%;

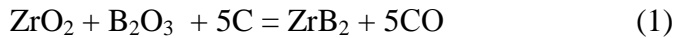
განხილული სისტემის სისტემის სისტემის არ მოიპოვება.

ანგარიში ჩატარებულია 500-2000 K ტემპერატურულ შუალედში 50^0 ბიჯით ვაკუუმში. თერმოდინამიკურმა ანალიზმა გვიჩვენა, რომ TiB_2 - ის მისაღებად ექსპერიმენტები საჭიროა ჩაგატაროთ 1250 K-ის ზევით, ხოლო TiB_2 - ის და TiC -ს ნარევის მისაღებად 1200 K-ის ზევით.

ჩატარებულია ZrB_2 -ის და ZrB_2/ZrC კომპოზიციური მასალების მიღების პროცესების თერმოდინამიკური ანალიზი. უკანასკნელ წლებში დიდი მოთხოვნაა კომპოზიციურ მასალებზე, რომლებიც გამოირჩევიან ისეთ თვისებებით, როგორიცაა სიმტკიცე, ცვეთაბზარ და კოროზიამდეგობა, მდგრადობა ნეიტრონების დასხივების მიმართ. ასეთი მასალები და მათი გამოყენებით შექმნილი დანაფარები შეიძლება გამოყენებულ იქნას აგრეთვე სხვადსხვა, მათ შორის სპეციალური დანიშნულების ნაკეთობათა დასამზადებლად. კომპოზიციაში შემავალი ბორი და ცირკონიუმი განაპირობებენ ასეთი ტიპის კომპოზიციური მასალის გამოყენების პერსპექტიულობას, როგორც ატომურ მრეწველობაში, ასევე კოსმოსური კვლევებისათვის. მათი მიღება ქიმიური მეთოდებით, კერძოდ აღდგენითი პროცესების გამოყენებით, საჭიროებს ფართო კვლევების ჩატარებას. ხელსაყრელი რეჟიმის დადგენისათვის საჭიროა ზემოთ აღნიშნული მასალების მიღების პროცესების სრული თერმოდინამიკური ანალიზის შესრულება. ამ მიზნით ჩაგატარეთ ZrB_2 -ის და ZrB_2/ZrC კომპოზიციური მასალების მიღების პროცესების სრული თერმოდინამიკური ანალიზი (სისტემა) კომპიუტერული პროგრამა ASTRA-4 პროგრამის გამოყენებით.

შესრულდა ნახშირბადის ZrO_2 და B_2O_3 -თან ურთიერთქმედების სრული თერმოდინამიკური ანალიზი (სისტემა).

საწყისი შედგენილობები შეესაბამებოდა შემდეგი რეაქციების სტექიომეტრიულს:



განხილული სისტემების სისტემის არ მოიპოვება.

თერმოდინამიკურმა ანალიზმა გვიჩვენა, რომ (1) რეაქციის მიხედვით ZrB_2 -ის მისაღებად საჭირო ექსპერიმენტების ჩატარება ვაკუუმში, 1250 K-ზე მაღალ ტემპერატურაზე, ხოლო (2) რეაქციის თანახმად ნარევის ZrB_2/ZrC მისაღებად ექსპერიმენტები უნდა ჩატარდეს ვაკუუმში 1350 K-ზე მაღალ ტემპერატურაზე.

შესრულებულია ექსპერიმენტებისათვის საჭირო დანადგარების რეკონსტრუქცია, რეაბილიტაცია. კომპოზიციური და კერამიკული მასალების მიღება ხორციელდება გახურებით მაღალ ტემპერატურაზე. ამიტომ ექსპერიმენტების ჩასატარებლად საჭიროა შემდეგი დანადგარები: სილიტის მაღალვაკუუმური დანადგარი, მაღალტემპერატურული გრაფიტის მახურებლიანი დანადგარი და აგრეთვე ბურთულიანი მაღალი ენერგიის წისქვილი. ყველა ეს დანადგრი საჭიროებდა რეაბილიტაციას და ექსპერიმენტის ჩატარებისათვის სრულ მზად ყოფნაში მოყვანას, რაც წარმატებით განხორციელდა ჩვენს მიერ კერძოდ, გრაფიტის მახურებლიან ღუმელში მაღალი ვაკუუმის მიღება გამნელებული იყო ამიტომ გადავწყვიტეთ დაგვემზადებია უჯანგავი ფოლადის ჰერმეტული რეტორტა რამაც შესაძლებელი გახადა მაღალი ვაკუუმის მიღება. მახურებლად ავირჩიეთ ჩვენს მიერ დამონტაჟებული სილიტის ღუმელი, რომელიც მაქსიმუმ 1100°C -ს იძლევა. მიუხედავად იმისა რომ ჩვენს მიერ აჩეული კარბოთერმული მეთოდით ექსპერიმენტი მაღალ ვაკუუმში გაცილებით დაბალ ტემპერატურებზე მიმდინარეობს მაინც ზოგიერთი პროცესისათვის 1100°C არ არის საკმარისი და ამიტომ ნაწილი ცდების ჩასატარებლად საჭიროა ტამანის ტიპის (გრაფიტის მახურებლიანი) ღუმელი, რომელიც აგრეთვე საჭიროებდა რეაბილიტაციას, რაც წარმატებით განხორციელდა. ექსპერიმენტებისათვის საჭირო ნარევების მისაღებად ვიყენებთ ბურთულიან მაღალი ენერგიის წისქვილს, ($1000\text{ბრ}/\text{წ}$) რომელიც რეკონსტრუირებული და რეაბილიტირებულია ჩვენს მიერ.

ექსპერიმენტისათვის საჭირო ფხვნილების მომზადება და საცდელი ნიმუშის მიღება

TiB₂ ფხვნილის მიღება: თერმოდინამიკური ანგარიშიდან გამომდინარე TiB₂-ის მისაღებად ავიღეთ TiO₂, B₂O₃-ის და გრაფიტის ნარევი, რომელიც დამუშავდა ჩვენს მიერ დამონტაჟებულ მაღალი ენერგიის წისქვილში 30 საათის განმავლობაში. მიღებული ფხვნილი დაგაბრიკეტეთ და ტიგე-ლით მოვათავსეთ სილიტის ღუმელში. ნარევი გავახურეთ $900-1080^{\circ}\text{C}$ -ზე 3 საათის გან-მავლობაში. ნარევის დამუშავება გავაგრძელეთ ტამანის ღუმელში, არგონის ატმოსფეროში 1400°C – ზე 3 საათის დაყოვნებით.

ZrB₂ ფხვნილის მიღება: ZrB₂-ის მისაღებად ავიღეთ ZrO₂, B₂O₃-ის და გრაფიტის ნარევი, რომელიც დამუშავდა მაღალი ენერგიის წისქვილში 30 საათის განმავლობაში. მიღებული ფხვნილი დაბრიკეტდა.

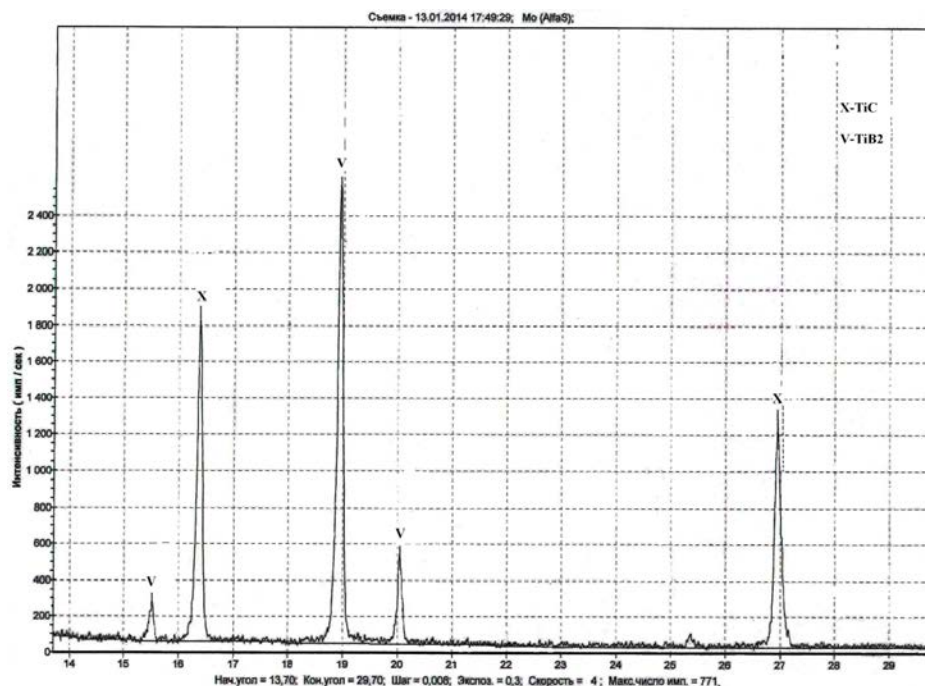
TiB₂ / TiC ნარევის მიღება: თერმოდინამიკური ანგარიშიდან გამომდინარე TiB₂ / TiC ნარევის მისაღებად ავიღეთ TiO₂, B₂O₃-ის და გრაფიტის ნარევი, რომელიც დამუშავდა მაღალი ენერგიის წისქვილში 30 საათის განმავლობაში. მიღებული ფხვნილი დაგაბრიკეტეთ.

TiB₂ / Al₂O₃ ნარევის მიღება: TiB₂ / Al₂O₃ ნარევის მისაღებად ავიღეთ TiO₂, B₂O₃-ის და ალუმინის და TiO₂, H₃BO₃-ის და ალუმინის ფხვნილების ნარევები, რომელიც დავამუშავეთ მაღალი ენერგიის წისქვილში 70 საათის განმავლობაში.

ZrB₂ / ZrC ნარევის მიღება: თერმოდინამიკური ანგარიშიდან გამომდინარე ZrB₂ / ZrC ნარევის მისაღებად ავიღეთ ZrO₂, B₂O₃-ის და გრაფიტის ნარევი, რომელიც დამუშავდა მაღალი ენერგიის წისქვილში 30 საათის განმავლობაში. მიღებული ფხვნილი დაგაბრიკეტეთ.

თერმოდინამიკური ანგარიშიდან გამომდინარე TiB_2/TiC ნარევის მისაღებად ავილეთ TiO_2 , B_2O_3 - ის და გრაფიტის ნარევი, იგი დავამუშავეთ მაღალი ენერგიის წისქვილში (1000 ბრ/°) 30 საათის განმავლობაში. მიღებული ფხვნილი დავაბრი- პეტეთ და ტიგელით მოვათავსეთ შემდგომი დამუშავებისათვის ტამანის ღუმელში არგონის ატმოსფეროში “ $1400^0 C$ – ზე 3 საათის დაყოვნებით.

სურ.1-ზე ნაჩვენებია მიღებული ფხვნილის რენტგენოგრამა, საიდანაც ჩანს, რომ ძირითადად მიიღება TiB_2/TiC ნარევი; თერმოდინამიკური ანალიზიდან გამომ- დინარე მათი ფარდობა მიახლოებით 50-50 % -ია.



6.ფენილოვანი ბორშემცველი კომპოზიციური მასალების მიღება ნეიტრონ-შთანთქმელი და ცვეთამედეგი დანაფარებისათვის, 2014-2015წწ

პროექტის ხელმძღვანელი: ზ.მირიჯანაშვილი, ტ.მ.აკად.დოქტორი, ლაბორატორიის უფროსი

უკანასკნელ პერიოდში მკვლევართა ინტერესი მიმართულია ფიზიკურ-ქიმიურ თვისებათა სრულიად ახალი კომპლექსის მქონე მასალების მიღებაზე. ასეთ მასალათა რიცხვს მიეკუთვნება ალუმინის ოქსიდით განმტკიცებული ქრომის და ტიტან - ქრომის ბორიდები. ისინი გამოირჩევიან: მაღალი სიმტკიცით, ცვეთა- და კოროზიამედეგობით, მაღალი ელექტრო- და თბოგამტარობით, და რადიაციული გამოსხივების მიმართ მედეგობით. ასეთი მასალები და მათ ფუძეზე შექმნილი დანაფარები შეიძლება გამოყენებული იქნას სხვადასხვა, მათ შორის სპეციალური დანიშნულების ნაკეთობათა დასამზადებლად. ამავდროულად ასეთ პროდუქციებზე ფართო მომებარებელს წარმოადგენენ მანქანათმშენებლობის და ელექტრონიკის საწარმოები, საავიაციო, მეტალურგიული ქარხები, ნავთობგადასამუშავებელი კომპანიები, ქვის დამმამუშავებელი და სამორგამდიდრებელი საწარმოები, საიუველირო, ინდივიდუალური შრომის ობიექტები და სხვა.

ამჟამად ამიერკავკასიის რესპუბლიკებში და თურქეთში ზემოაღნიშნული ლითონური ფენილოვანი მასალები და მათგან დამზადებული ნაკეთობები პრაქტიკულად არ იწარმოება, თუმცა მოთხოვნილება ფენილთა მეტალურგიის მეთოდებით დამზადებულ ასეთი ტიპის პროდუქციებზე ყოველწლიურად მატულობს, რომლის დაკმაყოფილებაც ხორციელდება საზღვარგარეთის ფირმებით. სამუშაოს ამოცანები და შესრულების ვადა

1. თერმოდინამიკური ანალიზით შესასწავლ სისტემებში ($\text{CrCl}_3\text{-B}$, $\text{CrCl}_3\text{-B}_2\text{O}_3\text{-Al}$, $\text{CrCl}_3\text{- (B)}\text{B}_2\text{O}_3\text{- (Ti)TiO}_2\text{-Al}$) შემავალი ელემენტებისა და ნაერთების კონცენტრაციების განსაზღვრა როგორც კონდენსირებულ, ასევე აიროვან ფაზებში (2014 წ);
2. ალუმინის ოქსიდით განმტკიცებული ქრომისა და ტიტან-ქრომის ბორიდების მიღების ოპტიმალური ტექნოლოგიური პარამეტრების დაგენა და ტექნოლოგიური სქემის დამუშავება (2014 წ);
3. ფენილოვანი კომპოზიციური მასალების საცდელი პარტიების მიღება (2015 წ);
4. ელექტრო-ნაპერწკლური ლეგირების და ელექტრო-რკალური შედევებისათვის შეცხობილი და ფენილგულ ელექტროდების დამზადების ოპტიმალური რეჟიმის დაგენა (2015 წ);
5. საცდელი ლითონნაკეთობათა დამზადება. გაცვეთილი ზედაპირების აღდგენა-განმტკიცება და მათი ზოგიერთი თვისებების კვლევა (2016 წ).

1.1. ჩატარდა შესასწავლი სისტემების $\text{CrCl}_3\text{-B}$, $\text{CrCl}_3\text{-B}_2\text{O}_3\text{-Al}$, $\text{CrCl}_3\text{-B}_2\text{O}_3\text{-TiO}_2\text{-Al}$ თერმოდინამიკური ანალიზი 298-2800K ტემპერატურულ ინტერვალში. განისაზღვრა სისტემებში შემავალი ელემენტებისა და ნაერთების კონცენტრაციები როგორც კონდენსირებულ, ასევე აიროვან ფაზებში. თერმოდინამიკური გაანგარიშება ჩატარდა პროგრამული კომპლექსის მეშვეობით კაზმში 29, 35, 47, 52, და 58 ბორის მასური წილის თანაობისას.

როგორც კვლევებმა გვიჩვენა კონდესირებულ ფაზაში ყველაზე მეტი რაოდენობით წარმოდგენილია TiB_2 , რომელიც 1500^0K -ზე ზევით უმნიშვნელოდ იკლებს. ასევე TiB_2 -ზე ნაკლები რაოდენობით წარმოქმნება CrB . რაც შეეხება CrB_2 , ის პირველად ჩნდება 1900^0K და მაქსიმუმს აღწევს $2000^0 K$ -ზე, შემდეგ მცირდება და $2500^0 K$ –ის ზემოთ საერთოდ ქრება.

გამოყენებულ პროგრამას არააქვს ორმაგი ბორიდების წარმოქმნის თერმოდინამიკის გაანგარიშების შესაძლებლობა. ამიტომ დასაშვებია პროგრამის მიერ გამოთვლილი ქრომისა და ტიტანის ბორიდები რომელიმე კომბინაციაში იძლეოდნენ ორმაგ ბორიდებს წარმოქმნის შესაძლებლობას. ეს დადგინდა პრაქტიკული კვლევების შედეგად საკვლევ სისტემებში ორმაგი ბორიდების წარმოქმნის შესაძლებლობა.

ჩატარდა სისტემის თერმოდინამიკურ ანალიზი იმ შეთხვევისთვის, როდესაც ბორის ის სტექიომეტრიული რაოდენობაა აღებული, რომელიც საკმარისია ქრომის და ტიტანისდიბორიდების წარმოსაქმნელად ქრომისა და ტიტანის დიბორიდების წარმოქმნის მაქსიმალური ალბათობის პირობების დადგენის მიზნით გაანგარიშდა $1300^0 K$ ტემპერატურაზე კონდენსირებული ფაზების წონასწორული შედგენილობა ბორის სხვადასხვა თდენობის ($20,9, 28, 34, 38$ და 44) მასური წილების დამატების პირობებში.

სისტემების $CrCl_3$ - B , $CrCl_3$ - B_2O_3 - Al , $CrCl_3$ - B_2O_3 - TiO_2 - Al თერმოდინამიკური ანალიზიდან ჩანს, რომ სათანადო კინეტიკური პირობების შემთხვევაში პრაქტიკულად მისაღებ ტემპერატურულ ზღვრებში და კაზმში ბორის სტექიომეტრიული რაოდენობის არსებობისას, იქმნება პირობები ქრომისა და ტიტანის ორმაგი ბორიდების წარმოქმნისათვის, რომელიც განმტკიცებულია 5% აღუმინის ოქსიდით.

12. შეფასდა ქრომის დიბორიდის (CrB_2), ტიტანის დიბორიდის (TiB_2), მათი ცალ-ცალკე და ალუმინის ოქსიდთან (Al_2O_3) ერთად აღებული ფხვნილოვანი კომპოზიტებისთვის ნეიტრონული დაცვის უნარი. შეფასების გაანგარიშებისას მიღებულ იქნა, რომ დანაფარების ფორიანობა შეესაბამებოდა 5% . კომპოზიტებში Al_2O_3 -ის შემცველობა არ აღემატებოდა 5% , ხოლო სამკომპონენტიან კომპოზიტებში CrB_2 -ისა და TiB_2 -ის შემცველობა დაახლოებით თანაბარი იყო. მიღებული დანაფარების სისქე შეესაბამებოდა 100 მგმ. ასეთ დანაფარებში გამოთვლილ იქნა ნეიტრონების მშთანთქმელი ცენტრების (^{10}B) ატომების კონცენტრაციები და დანაფარების მასალაში ნეიტრონების შეღწევის შესაბამისი სილრმები. ამ შედეგების საფუძველზე დადგენილი და ტაბულირებულია ნეიტრონული დასხივების იმ დოზების მნიშვნელობები, რომლისგანაც საიმედო დაცვას უზრუნველყოფს ამა თუ იმ შემადგენლობისა და სისქის დანაფარები. ზემოაღნიშნული გამოსახულებების $V = Vp + \Sigma V_i$ ფორმულაში ჩასმით მივიღებთ $V = \Sigma (M_i / \rho_i) / (1 - p)$. აქედან უპყვებელი იანგარიშება კომპონენტების მოცულობითი წილი $c_i = V_i / V$ და ნეიტრონმშთანთქმელი ბორის ატომების კონცემტრაცია $N = N_A (1 - p) \Sigma (n_i M_i / \mu_i) / \Sigma (M_i / \rho_i)$.

კომპონენტების მასისა და ნიმუშებში ბორის ატომების კონცენტრაციების საწყისი საანგარიშო მონაცემები აღებულია როგორც ცნობარიდან (Ed.-in-Ch. W.M.Haynes. CRC), Handbook of Chemistry and Physics. 2013–2014. Boca Raton. Taylor & Francis Group), ასევე ჩვენს მიერ ჩატარებული გაანგარიშების საფუძველზე. უნდა აღინიშნოს, რომ რვავე ნიმუშის ფორიანობა იდენტურია და ტოლია $p = 0,05$.

კომპონენტების მასისა და ნიმუშებში ბორის ატომების კონცენტრაციების საწყისი
საანგარიშო მონაცემები

საწყისი მონაცემები					ნიმუშების შედგენილობა M_i, δ							
i	კომპონენტი	n_i	$\mu_i,$ $\text{გ}/\text{მოლი}$	$\rho_i,$ $\text{გ}/\text{სმ}^3$	I	II	III	IV	V	VI	VII	VIII
1	CrB_2	2	73.618	5.22	74	0	74	74	0	0	74	74
2	TiB_2	2	69.489	4.38	0	71	0	0	71	71	71	71
3	Al_2O_3	0	101.961	3.99	0	0	7.5	4	7	4	15	7.5
$N, 10^{22} \text{ სმ}^{-3}$					8.1	7.2	7.2	7.6	6.5	6.8	6.8	7.2

ცხრილში მოყვანილი მონაცემებიდან ჩანს, რომ შესაბამის დანაფარებში ბორის ატომების კონცენტრაციების მნიშვნელობები იცვლება ძალიან ვიწრო დიაპაზონში (6.5 – 8.1) 10^{22} სმ^{-3} .

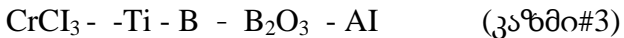
გარდა ნეიტრონების შეღწევადობის სიღრმისა $= 1 / \sigma$, განისაზღვრება ასევე 10^{10} ბირთვში

ნეიტრონების შეღწევადობის კვეთი. აღნიშნულიდან გამომდინარე ე.წ. “თბური ნეიტრონისათვის” ($\sigma = 3835 \text{ ბარ}$) გვექნება $= (30-40) \text{ მკმ}$. ამიტომ, დაახლოებით 100 მკმ სისქის დანაფარებში ნეიტრონული ნაკადის ინტენსივობა $10 - 20 \text{ ჯერ უნდა შემცირდეს}$.

2.1. ოპტიმალური ტექნოლოგიური პარამეტრების დადგენა

შესწავლილ იქნა ფხვნილოვანი CrB_2 ; $\text{CrB}_2 - \text{Al}_2\text{O}_3$; $(\text{Ti}, \text{Cr})\text{B}_2$ და $(\text{Ti}, \text{Cr})\text{B}_2 - \text{Al}_2\text{O}_3$ მიღების პროცესები. კვლევის ობიექტებად შერჩეულ იქნა ქრომის ქლორიდი, ელემენტალური ბორი (ან ბორის ანპიდრიდი), ტიტანის ოქსიდი (ან ფხვნილოვანი ტიტანი) და ლითონური ალუმინის ფხვნილი.

თერმოგრაფიული, დერივატოგრაფიული და ვოლუმოგრაფიული მეთოდებით მიღებული კვლევის შედეგების შეჯერებით აიხსნა კაზმში (1-4) მიმდინარე თერმიული ეფექტების ხასიათი. $\text{CrCl}_3 - \text{B}$ (კაზმი #1)



-6-

სარეაქციო მასაში ქრომის ქლორიდისა და ელემენტალური ბორის ნარევში (იხილე სურ.4 ბ), ბორის რაოდენობა შეესაბამება როგორც ქრომის ქლორიდის ლითონურ ქრომამდე აღდგენას, ისე ქრომის ბორიდის მაღალი ფაზის წარმოქმნას.

სარეაქციო მასის ნარევის (ფხვნილოვანი ქრომის ქლორიდი, ელემენტალური ბორი, ტიტანის ოქსიდისა და ფხვნილოვანი ალუმინით აღდგენის პროცესში (სურ.4 ა) ძირთადად მონაწილეობს ალუმინი, რომელიც დაახლოებით იგივე ტემპერატურაზე (6600C) ერთგროულად რეაგირებს ქრომის ქლორიდთან და ტიტანის ოქსიდთან, ხასიათდება ძლიერი ეგზოთერმულობით. გამოყოფილი სითბოს ხარჯზე ტემპერატურა

სარეაქციო ზონაში სწრაფად, არაუმეტეს 1-1,5 წთ, თვითნებურად იზრდება $950\text{-}975^{\circ}\text{C}$ -მდე, რაც ხელს უწყობს $(\text{Ti,Cr})\text{B}_2$ -ის წარმოქმნას . ბოროთერმიასთან შედარებით სარეაქციო კაზმის (№3 და №4) ალუმინით აღდგენის უპირატესობა მდგომარეობს აღდგენის პროცესის სწრაფად წარმართვაში და წარმოქმნილი მეორადი პროდუქტის AlCl_3 დაბალი ორთქლის დრეკადობის გამო, 180°C -ზე მთლიანად აორთქლებაში. ეს უდაოდ ეფექტური და დადებითი მოვლენაა დამუშავებული ტექნოლოგიური პროცესების განხორციელების შემთხვევაში. გარდა აღნიშნულისა ადვილი განსახორციელებელია გამოყოფილი AlCl_3 უვნებელყოფა გამდნარ NaCl ბარბატირებით (ამ დროს წარმოიქმნება მდგრადი კომპლექსური მარილი - NaAlCl_4).

2.2. ტექნოლოგიური სქემა

დადგინდა კაზმის შემადგენელი კომპონენტების ოპტიმლური რაოდენობა.. ლაბორატორიულ პირობებში ექსპერიმენტები ტარდებოდა ვერტიკალური ტიპის მცირე წარმართვის რეაქტორში (დაახლოებით 50 გ კაზმისგან დაბრიკეტებულ ნიმუშებზე). დამუშავდა შესაბამისი კაზმიდან ალუმინოთერმული აღდგენით ფხვნილოვანი CrB_2 - Al_2O_3 და $(\text{Ti,Cr})\text{B}_2$ - Al_2O_3 საცდელი პარტიების მიღების პროცესის განხორციელების ოპტიმალური ტექნოლოგიური სქემა, რომელიც მოიცავს:

1. კაზმის შერევას მბრუნავ ამრევში;
2. კაზმის ბრიკეტირებას
3. არგონის ატმოსფეროში კაზმის აღდგენას შახტური ტიპის ღუმელში;
4. ბურთულებიან წისქვილში ცხობურის დაქუცმაცებას და სველ დაფქვას;
5. ჰულპის ცენტრიფუგირებას (გარეცხვა-გამოწურვას);
6. საშრობ კარადაში ფხვნილის გაშრობას და
7. ფხვნილების გაცრას.

3. ფხვნილოვანი კომპოზიციური მასალების საცდელი პარტიების მიღება

ფაიფურის წისქვილში შერეული კომპონენტების და ალუმინის ფხვნილთან ერთად დაწნებელი (100-150 მპა) ბრიკეტების არგონის ატმოსფეროში აღდგენით, 950°C პროდუქტების 1 საათის განმავლობაში პომოგენური მოწვის შედეგად მიღებულ იქნა CrB_2 და $(\text{Ti,Cr})\text{B}_2$ - Al_2O_3 საცდელი ფხვნილები. მათი რენტგენო-ფაზური ანალიზებით (სურათი 5 ა, ბ) დადგინდა, რომ 950°C ერთი საათის დაყოვნებით რენგენოგრამაზე ფიქსირდება მხოლოდ CrB_2 ან $(\text{Ti,Cr})\text{B}_2$ ფაზები.

ამ ფაზების წარმოქმნის მექანიზმი შეიძლება აიხსნა შემდეგნაირად. აღდგენითი პროცესის დროს გამოიყოფა დიდი რაოდენობით სითბო (1 კგ პროდუქტის მიღებისათვის 1150-1375 კკალ), რომელიც იწვევს ტემპერატურის ზრდას მარეაგირებელ ნარევში, რაც იწვევს მჭიდრო კონტაქტში მყოფი ბორის, ტიტანის და ქრომის მარცვლების ურთიერთქმედებას.

ბორიდების მარცვლები ძირითადად ღრუბლისებრი ფორმისაა. ფიქსირდება ასევე ნემსისებრი და სფერისებრი ფორმებიც. მარცვლების ზომა მერყეობს <40 – 100 მკმ ფარგლებში. ფხვნილების თავისუფალი ნაყარი სიმკვრივე მერყეობს $1,22\text{-}1,28$ გ/სმ 3 ; ფხვნილების შენჯღრევით ნაყარის სიმკვრივეა $1,6\text{-}1,9$ გ/სმ 3 .

4. შეცხობილი და ფხვნილგულა ელექტროდების დამზადება

დამუშავდა ტექნოლოგიური პარამეტრები და დამზადდა მიღებული ფხვნილებიდან ელექტრო-ნაპერწკლური ლეგირებისათვის შეცხობილი ($50\times4\times4$ მმ) და ელექტრო-რკალური შედუდებისათვის ფხვნილგულა ($\Phi4\times1300$ მმ) ელექტროდები. ეს ელექტროდები შემდგომ გამოყენებულ იქნება ელექტრო ნაპერწკლური ლეგირებით

და ელექტრო რკალური შედეგებით ლითონ-ნაკეთობათა ზედაპირების აღდგენა-განმტკიცებისათვის და მათი ზოგიერთი თვისებების შესასწავლად.

ქლორიდ-ოქსიდური კაზმის ალუმინოთერმიოით აღდგენის შედეგად მიღებული $\text{Cr}_2\text{B}-\text{Al}_2\text{O}_3$ და $(\text{CrTi})\text{B}_2-\text{Al}_2\text{O}_3$ ფხვნილებიდან ზედაპირის ელექტრონაპერტკლური ლეგირებისათვის დამზადდა ელექტროდები ($4x4x40$ მმ).

ექსპერიმენტები ჩატარდა «ЭФИ-68В» და «Элитрон 502А» ტიპის ელექტრონაპერტკლური ლეგირების დანადგარ-მოწყობილობებზე. დადგინდა, რომ 8 ამპერამდე მოკლე ჩართვის დენის პირობებში ლეგირებული შრეების სისქე ყველა შემთხვევაში მიღებოდა $0,05-0,130$ მმ ფარგლებში, რაც გამოწვეულია ელექტრონაპერტკლური ლეგირების დანადგარის სიმძლავრის პარამეტრებზე.

სტანდარტული შედგენილობის BK6 სალი შენადნობის ელექტროდებით ლეგირების შემდეგ განმტკიცებული ფენის მიკროსისალე იცვლება $1000-1400$ H ზღვრებში. $\text{Cr}_2\text{B}-\text{Al}_2\text{O}_3$ და $(\text{CrTi})\text{B}_2-\text{Al}_2\text{O}_3$ ფხვნილებიდან დამზადებული ელექტროდებით ლეგირების შემთხვევაში მიღებული მიკროსისალე 200-300 ერთეულით იზრდება.

დაგინდა, რომ გლუვი ზედაპირის მისაღებად ლეგირება უნდა განხორციელდეს ჯერ უხეში რეჟიმით (200 ჰერცი სიზურისა 6 ამპ დენის ძალის პირობებში) დანაფარის სისქის $50-70$ მკმ მიღწევამდე, ხოლო შემდეგ, იგივე ზედაპირი უნდა იფარებოდეს შედარებით რბილი რეჟიმით ($100-150$ ჰერცი რეჰსის სიზურის და 5 ამპ დენის ძალის პირობებში) დანაფარების $20-40$ მკმ სისქის დამატებით.

დადგინდა, რომ საცდელი ფხვნილებიდან $(\text{Cr}_2\text{B}-\text{Al}_2\text{O}_3)$ და $(\text{CrTi})\text{B}_2-\text{Al}_2\text{O}_3$ დამზადებული ელექტროდებით ლეგირებული ზედაპირების ცვეთამედეგობა იგივე რიგისაა, რაც სტანდარტული სალი შენადნობებით დაფარული ზედაპირები.

დამთავრებული პროექტი, 2014-2015წწ.

7.გვიან შუასაუკუნეების ქართული იარაღ-საჭურველი.

პროექტის ხელმძღვანელი: გ.ინანიშვილი ი.მ.დ. მთავ. მეც. თან

გვიან შუა საუკუნეების ქართული იარაღის წარმოების შესწავლის მიზნით, შესრულებულია საქართველოს ეროვნულ მუზეუმში დაცული XVIII-XIX საუკუნეების იარაღ-საჭურვილის ინტერდისიპლინარული კვლევის შესაბამისი, პირველი წლის გეგმით გათვალისწინებული კვლევა-ძიების საწყისი ეტაპის სამუშაო.

ჩატარებულია იარაღ-საჭურვილის ვიზუალური დათვალიერება მისი კოროზიული დაცულობის განსაზღვრით, სტილისტურ-წარმომავლობითი ანალიზი, დადგენილია კულტურული კუთვნილება. ექსპორტის ექსპერტიზა მოიცავს პასპორტიზაციის ძირითად მახასიათებლებს: გამოყოფილია საბრძოლო და თავდაცვითი საშუალებები, კლასიფიკაციით განხორციელდა ქართული ტიპის ხმლის იდენტიფიკაცია.

დადგენილია იარაღ-საჭურვლის დამზადების ტექნოლოგიური სქემა. განსაზღვრულია იარაღის ტექნიკური პარამეტრები, რაც გვაძლევს გვიან შუასაუკუნეების ეთნოგრაფიული იარაღის ისტორიულ-ტექნოლოგიური

შეფასების და შესაბამისად სამუზეუმო ექსპონატის ტექნიკური ექსპერტიზის შესრულების საშუალებას. შესრულებული სამუშაო, რომელიც სრულდებოდა კლალენდარული გეგმის მიხედვით შესაძლებლობა გვაქვს გავაკეთოთ შემდეგი დასკვნები:

1. იარადის ფონდში დაცული ქართული იარაღ-საჭურვლის ცალკეული სახეობების კლასიფიკაციით გარკვეულია კოლექციის გეოგრაფიული დიაპაზონი, მათი წარმომავლობის ძირითადი გზები.
2. ქართული წარმომავლობის იარაღ-საჭურვლის კოლექციებიდან გამოიყო ქართული ხმლების შვიდი სახეობა - გორდა, კალდიმი, კაბიანი, დავითფერული, ხევსურული, ჭოლაური, თბილისური.
3. შესწავლილი იარადის სისალე შეადგენს $HB=250-450 \text{ კგ/მმ}^2$ მაჩვენებელს, გამოირჩევა ფხამახვილობით და ცვეთამედეგობით.
4. შესწავლილი საიარაღო ექსპონატების მორფოლოგიური და მაკრო-მიკროსტრუქტურული ანალიზით დადგენილია ქართული იარაღ-საჭურვლის დამზადების შემდეგი ტექნოლოგიური სქემა:

ქართული ხმლის მასალა-ნახშირბადიანი ფოლადი, მიღებული ნორმალიზაციისა და წრობის პროცესის გამოყენებით. სტრუქტურული აღნაგობით განპირობებულია ფოლადის მასალის მაღალი სისალე, ჭრის უნარი, ამავე დროს დრეკადობისა და პლასტიკურობის კარგი მახასიათებლები.

5. ქართული იარაღ-საჭურვლის მეტალოგრაფიული და ქიმიური ანალიზი, სტრუქტურული თავისებურება და ფაზური განაწილების სახე შესაძლებელს ხდის დავადგინოთ მასალის მიღება-დამუშავების ტექნოლოგიური სქემა: დამზადებულია რკინის პირდაპირი აღდგენის ან პუდლინგის პროცესების გამოყენებით მიღებული ფოლადისაგან, ქურაში დანახშირბადიანებული და გამჭოლი ცემენტაციით დამუშავებული ნამზადით. შესწავლილი მაღალნახშირბადიანი ფოლადი შესაძლებელია, როგორც აღგილობრივი, ისე იმპორტული წარმოების პროდუქტი იყოს.
6. XVIII-XIX საუკუნეების ქართული იარაღ-საჭურვლის კომპლექსური გამოკვლევის შედეგები, მისი საბრძოლო თვისება-მონაცემების განსაზღვრისა და კავკასიის რეგიონის იარაღწარმოების სისტემაში შეტანილი მნიშვნელოვანი წვლილის ამსახველია. ამავე დროს იარადის ისტორიულ-ტექნოლოგიური შესწავლის სქემა სამუზეუმო ექსპონატების კლასიფიკაციის არსებული ფორმის დაზუსტებისა და ტექნიკური ექსპერტიზის შესაძლებლობას განაპირობებს.

სამეცნიერო საბჭოს თავმჯდომარე,
სახელმწიფო და გ.ნიკოლაძის პრემიების

ლაურეატი ქ.მ.დ., პროფესორი:

/ჯ.ხანთაძე/

. ნახშირბადისა და ბორის ნიტრიდის იზოსტრუქტურული ნანომასალების (ბოჭკოების, მილაკების, ფირების, ლითონშემცველი კლასტერების) მიღების მეთოდების დამუშავება

პროექტის ხელმძღვანელები: ინჟინერი ლ.რუხაძე ტ.მ.აკად.დოქტორი ლ.ჩხარტიშვილი

დამუშავებულია, ჟანგბადის დაბალი პარციალური წნევის პირობებში ეთილის სპირტის თერმული დისოციაციით 750-800°C გახურებულ რკინის საფენეზე რკინით დოპირებული ნახშირბადის კლასტერების მიღების მეთოდი. ტემპერატურის, ჟანგბადის პარციალურ წნევის, ნახშირწყალბადების რაოდენობის ანუ სიმკვრივის, რეაქტორში პიროლიზებული მასის გადაადგილების სიჩქარისა და საფენების ზედაპირის მდგომარეობისა და ტემპერატურის ცვლილების მიხედვით შესაძლებელია მიღებული იქნას სხვადასხვა ზომის 40-300ნმ-ის მაგნიტური ნახშირბადის კლასტერები. ელექტრონული მიკროსკოპული კვლევებით დადგენილია მიღებული მაგნიტური ნახშირბადის კლასტერების ფორმებისა და ზომის ცვლილებები ტექნოლოგიური პარამეტრებისაგან დამოკიდებულებით.

დადგენილია, რომ ორგანული ნახშირწყალბადის - ეთილის სპირტის თერმული დისოციაციით ჟანგბადის დაბალი პარციალური წნევის პირობებში სათანადო ტექნოლოგიური პარამეტრების შერჩევით ერთი და იგივე აპარატურული გაფორმების პირობებში შესაძლებელია მიღებული იქნას სხვადასხვა გეომეტრიული ზომის ნახშირბადის ნანომილაკები, ნანობოჭკოები, ნანოფირები და მაგნიტური კლასტერები.

ლიტერატურული წყაროებიდან მოძიებულია ნანობოჭკოების და ნანომილაკების გამოყენების სფეროები. კერძოდ, ეს მასალები ფართო გამოყენებას პოულობს ელექტრულ ხელსაწყოებში ელექტრომაგნიტური ტალღების ეკრანირებისათვის, ალტერნატიულ ენერგეტიკაში საწვავი წყალბადის ნანორეზერვუარების შესაქმნელად, რეზინების წარმოებაში დანამატად, მათი მექანიკური მახასიათებლების გაზრდის მიზნით და ა.შ.

ჟანგბადის დაბალი პარციალური წნევის პირობებში ეთილის სპირტის თერმული დისოციაციით მიღებულია ნახშირბადის ნანოფირები. დადგენილია ოპტიმალური პარამეტრები - დისოციაციის ტემპერატურა, სარეაქციო არეში ნახშირწყალბადის მიწოდების რაოდენობა დროის ერთეულში. შესწავლილია მიღებული ნანოფირების სტრუქტურა ელექტრონული მიკროსკოპული კვლევებით. დადგენილია, რომ დისოციაციის ტემპერატურის ცვლილებით დროში შესაძლებელია ვარეგულიროთ ნახშირბადის ფირის სისქე და ნაწილაკების ზომები. ელექტრონული მიკროსკოპული კვლევებით შესწავლილია ნახშირბადის ნანოფირების სტრუქტურა. დადგენილია, რომ ფირების მდგრენელი კრისტალიტების ზომები იცვლება 50-250 ნმ-ის ფარგლებში. ლიტერატურული წყაროების ანალიზის საფუძველზე მოძიებულია ნახშირბადის ნანოფირების პრაქტიკული გამოყენების სფეროები. მაგ.: ელექტრონიკაში - ელექტრონული ავტომატიზაციების წყაროების შესაქმნელად, კომპოზიციურ მასალებში - განმამტკიცებელ კომპონენტებად, ბიოლოგიაში - პლატფორმების შესაქმნელად გენების ტრანსპორტისათვის და ა.შ.

8. კოლხეთის შავი მეტალურგიის ისტორიიდან (ახლად აღმოჩენილი ძვ.წ. I ათასწლეულის რეკინის წარმოების კერა ყულევიდან)

ნახევარი წლის ანგარიში

ისტორიული კოლხეთის ტერიტორიაზე არქეოლოგიური კვლევა-ძიებით აღმოჩენილი რეკინის მეტალურგიული წარმოების კერაზი მრავალრიცხოვან მასალას შეიცავენ რეკინის მიღების ცივბერვითი პროცესის ტექნოლოგიურად შესწავლისათვის. დღეს ცნობილია მეტალურგიული კერაზი დასავლეთ საქართველოს რეგიონიდან, რომლებიც აქ განვითარებულ სხვადასხვა გამადნების სისტემის ცალკეულ მადანგამოსავლებს უკავშირდება და შესაბამისად გარკვეული ტიპის ნედლეულით ფუნქციონირებდნენ.

როგორც სპეციალურ ლიტერატურულ წყაროებში აღინიშნა, ისტორიულად თითოეული ძეგლი რეკინის კულტურის განვითარების გარკვეულ არქეოლოგიურ კულტურათა მონაკვეთს მოიცავს და სამთო-მეტალურგიული რეგიონისათვის დამახასიათებელი ლოკალური ტექნოლოგიური მაჩვენებლებით გამოირჩევა. მხედველობაში მიიღება მაგნეტიტური და ჰემატიტური რეკინის მადნის განლაგების სქემა, მთიანი და მთისწინა ზონის კარიერებით, ზღვისპირა ქვიშნარი მაგნეტიტის დანალექით. შესაბამისად გამოყენებული მადნის გამდიდრების, გამოწვის თუ შეცხობის ოპერაციათა ორგანიზაციულ-ტექნიკური შესაძლებლობებით.

შავიზღვისპირა დიუნებზე განლაგებული სადგომების შესწავლამ უშუალოდ მაგნეტიტური დანალექის მოპოვება-გადამუშავებით დაკავებული ობიექტები გამოავლინა. ძეგლები ძვ.წ. VIII – VII სს პერიოდში კოლხეთის წინარეანტიკური რეკინის მეტალურგიული წარმოების ტექნოლოგიით განსაზღვრული სარეწვების ფუნქციას ასრულებდნენ.

აღნიშნული მონაცემების მიხედვით, ზღვისპირა დიუნებზე დასახლებები მაგნეტიტური ქვიშების ძირითად მომპოვებელ საწარმოებად წარმოგვიდგება, სადაც მაგნეტიტური ქვიშრობი რეკინის მადნის ფლოტაციით გამდიდრების ტექნოლოგიური პროცესი სრულდებოდა.

საქართველოს ტერიტორიაზე რეკინის მეტალურგიის განვითარების ისტორიულად უწყვეტი პროცესის წარმოსახვა შესაძლებელია აღნიშნული არქეოლოგიური მონაპოვარი მასალების კომპლექსური შესწავლის შედეგების გათვალისწინებით.

განსაკუთრებული მნიშვნელობისაა კოლხეთის რეკინის მეტალურგიული ცენტრის ამსახველი არქეოლოგიური მასალა, რომელიც მოპოვებულია სამხრეთ-აღმოსავლეთ შავიზღვისპირებისა და ცენტრალური კოლხეთის რეგიონებში. გამოვლენილია რამდენიმე ათეული სახელოსნო-ობიექტის შემცველი ოთხი მეტალურგიული კერა, რომელთა ფუნქციონირების პერიოდი მოიცავს ძვ.წ. II ათასწლეულის მიწურულიდან, ვიდრე ანტიკური ხანის ჩათვლით. აღნიშნული ძეგლებიდან აღმოჩენილი საწარმოო ნარჩენები (ქურები, წილები, მეტალურგიული აღჭურვილობა) გვაძლევს შერჩეული ლოკალური ძეგლის სრული ისტორიულ-ტექნოლოგიური დახსასიათების საშუალებას.

კოლხეთის მეტალურგიული ცენტრის წარმოების ღუმელები წარმოდგენილია ძვ.წ. II ათასწლეულიდან – I ათასწლეულის შუა ხანებით დათარიდებული ცივბერვითი პროცესისათვის დამახასიათებელი ქურებით. გათვალისწინებულია არქეოლოგიური გათხრებით მიღებული და დაზუსტებული სახელოსნოების სამუშაო სივრცის ზომები, ქურათა განლაგების სქემა, აგრეთვე არქეოლოგთა მიერ გამოქვეყნებული ობიექტების აღწერილობითი მასალა და შენიშვნები. თგმით გათვალისწინებული

კვლევა-ძიების მეთოდის მიხედვით გამოყენებული იქნება კოლხეთის რკინის მეტალურგიულ ცენტრში შემავალი შემდეგი ძეგლები:

1. ჭოროხის აუზის მეტალურგიული კერა, წარმოებით „ჭარნალი“;
2. ჩოლოქოჩხამურის მეტალურგიული კერა, წარმოებით „ჯიხანჯური“;
3. სუფსა-გუბაზეულის მეტალურგიული კერა, წარმოებით „ასკანა“, „მზიანი“;
4. ხობი-ოჩხომურის მეტალურგიული კერა, წარმოებით „ჭოღა“;
5. უელევის (მდ. ხობის შესართავი) მეტალურგიული დასახლება.

ჯერ კიდევ კომპლექსურად შეუსწავლელ მეტალურგიული წარმოების ძეგლებს შორის განიხილება უელევის რკინის მეტალურგიული საწარმოო კერა, სადაც მოპოვებულია რკინის ნაწარმის მიღება-დამუშავების შესაბამისი არტეფაქტები. მათ შორის ისტორიულ-ტექნოლოგიური თვალსაზრისით დიდი მნიშვნელობისაა სახელოსნოს კონსტრუქციისა და ნახევარფაბრიკატის რკინის ლუგვის ნიმუშები, რომელთა კვლევა წარმოდგენილი თემის მეცნიერულ-თეორიული და ტექნოლოგიური ექსპერიმენტის ძირითად ობიექტს წარმოადგენს.

დამთავრებული პროექტი, 2014-2015წწ.

7.გვიან შუასაუკუნეების ქართული იარაღ-საჭურველი.

პროექტის ხელმძღვანელი: გ.ინანიშვილი ი.მ.დ. მთავ. მეც. თან

გვიან შუა საუკუნეების ქართული იარაღის წარმოების შესწავლის მიზნით, შესრულებულია საქართველოს ეროვნულ მუზეუმში დაცული XVIII-XIX საუკუნეების იარაღ-საჭურველის ინტერდისიპლინარული კვლევის შესაბამისი, პირველი წლის გეგმით გათვალისწინებული კვლევა-ძიების საწყისი ეტაპის სამუშაო.

ჩატარებულია იარაღ-საჭურველის ვიზუალური დათვალიერება მისი კოროზიული დაცულობის განსაზღვრით, სტილისტურ-წარმომავლობითი ანალიზი, დადგენილია კულტურული კუთვნილება. ექსპორტის ექსპერტისა მოიცავს პასპორტიზაციის ძირითად მახასიათებლებს: გამოყოფილია საბრძოლო და თავდაცვითი საშუალებები, კლასიფიკაციით განხორციელდა ქართული ტიპის ხმლის იდენტიფიკაცია.

დადგენილია იარაღ-საჭურველის დამზადების ტექნოლოგიური სქემა. განსაზღვრულია იარაღის ტექნიკური პარამეტრები, რაც გვაძლევს გვიან შუასაუკუნეების ეთნოგრაფიული იარაღის ისტორიულ-ტექნოლოგიური შეფასების და შესაბამისად სამუზეუმო ექსპონატის ტექნიკური ექსპერტიზის შესრულების საშუალებას. შესრულებული სამუშაო, რომელიც სრულდებოდა კლასიფიკაციით გეგმის მიხედვით შესაძლებლობა გვაქვს გავაკეთოთ შემდგარი დასკვები:

1. იარაღის ფონდში დაცული ქართული იარაღ-საჭურველის ცალკეული სახეობების კლასიფიკაციით გარკვეულია კოლექციის გეოგრაფიული დიაპაზონი, მათი წარმომავლობის ძირითადი გზები.

2. ქართული წარმომავლობის იარაღ-საჭურვლის კოლექციებიდან გამოიყო ქართული ხმლების შვიდი სახეობა - გორდა, კალდიმი, კაბიანი, დავითფერული, ხევსურული, ჭოლაური, თბილისური.

3. შესწავლილი იარაღის სისალე შეადგენს $HB=250-450 \text{გგ/მმ}^2$ მაჩვენებელს, გამოირჩევა ფხამახვილობით და ცვეთამედეგობით.

4. შესწავლილი საიარაღო ექსპონატების მორფოლოგიური და მაკრო-მიკროსტრუქტურული ანალიზით დადგენილია ქართული იარაღ-საჭურვლის დამზადების შემდეგი ტექნოლოგიური სქემა:

ქართული ხმლის მასალა-ნახშირბადიანი ფოლადი, მიღებული ნორმალიზაციისა და წროვის პროცესის გამოყენებით. სტრუქტურული აღნაგობით განპირობებულია ფოლადის მასალის მაღალი სისალე, ჭრის უნარი, ამავე დროს დრეკადობისა და პლასტიკურობის კარგი მახასიათებლები.

5. ქართული იარაღ-საჭურვლის მეტალოგრაფიული და ქიმიური ანალიზი, სტრუქტურული თავისებურება და ფაზური განაწილების სახე შესაძლებელს ხდის დავადგინოთ მასალის მიღება-დამუშავების ტექნოლოგიური სქემა: დამზადებულია რკინის პირდაპირი აღდგენის ან პუდლინგის პროცესების გამოყენებით მიღებული ფოლადისაგან, ქურაში დანახშირბადიანებული და გამჭოლი ცემენტაციით დამუშავებული ნამზადით. შესწავლილი მაღალნახშირბადიანი ფოლადი შესაძლებელია, როგორც აღგილობრივი, ისე იმპორტული წარმოების პროდუქტი იყოს.

6. XVIII-XIX საუკუნეების ქართული იარაღ-საჭურვლის კომპლექსური გამოკვლევის შედეგები, მისი საბრძოლო თვისება-მონაცემების განსაზღვრისა და კავკასიის რეგიონის იარაღწარმოების სისტემაში შეტანილი მნიშვნელოვანი წვლილის ამსახველია. ამავე დროს იარაღის ისტორიულ-ტექნოლოგიური შესწავლის სქემა სამუზეუმო ექსპონატების კლასიფიკაციის არსებული ფორმის დაზუსტებისა და ტექნიკური ექსპერტიზის შესაძლებლობას განაპირობებს.

ანგარიშები მოსმენილია სამეცნიერო საბჭოს მიერ.